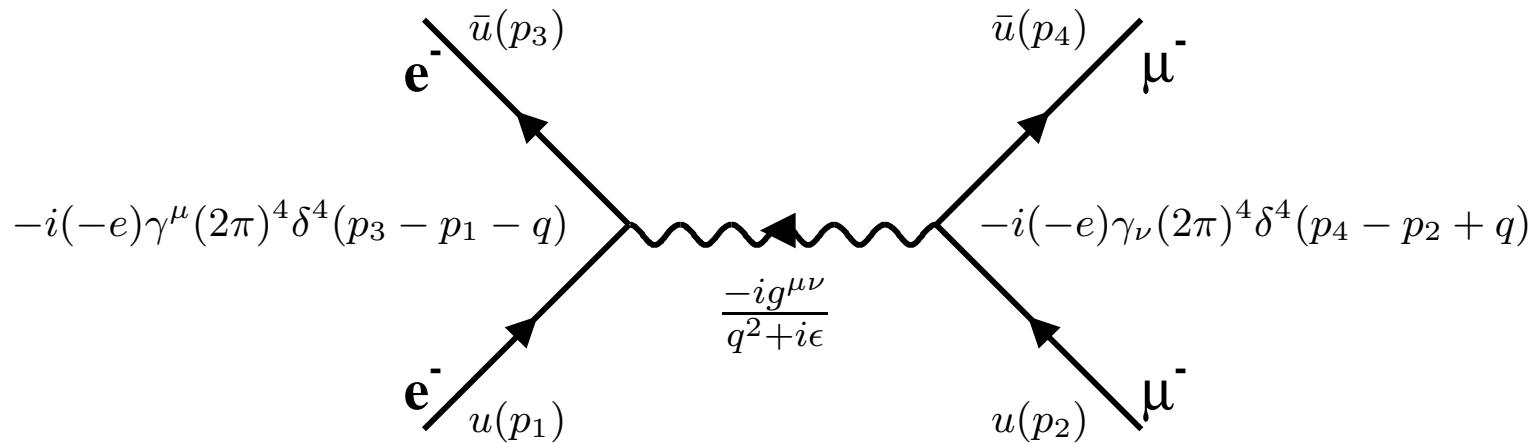


# Wiederholung: Ziel Matrixelement $M$ eines Prozesses

6. Vorl., 23.4.2010

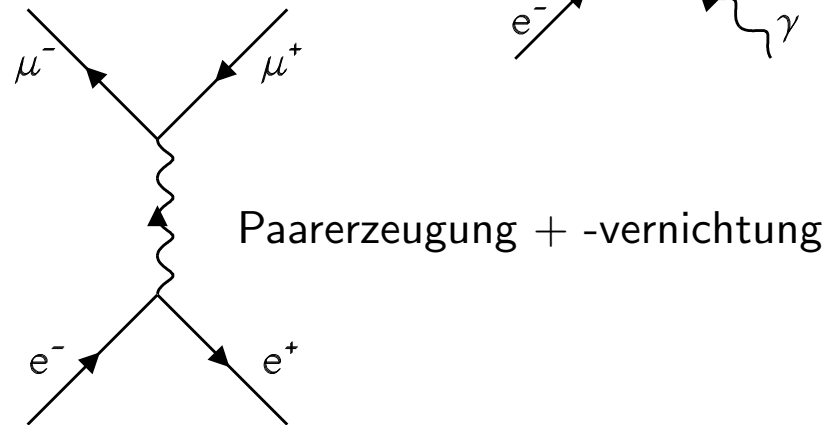
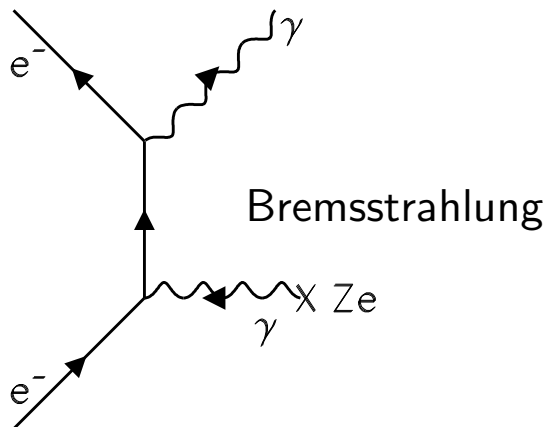
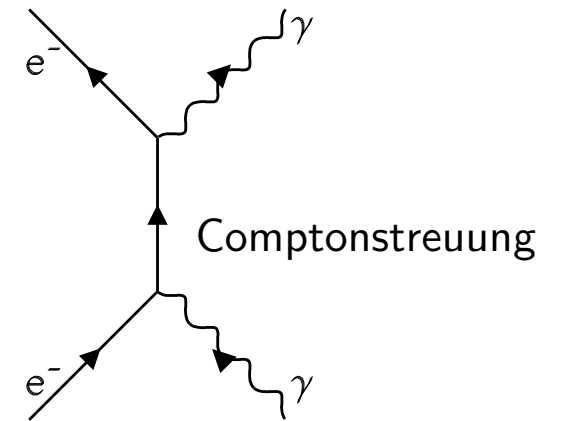
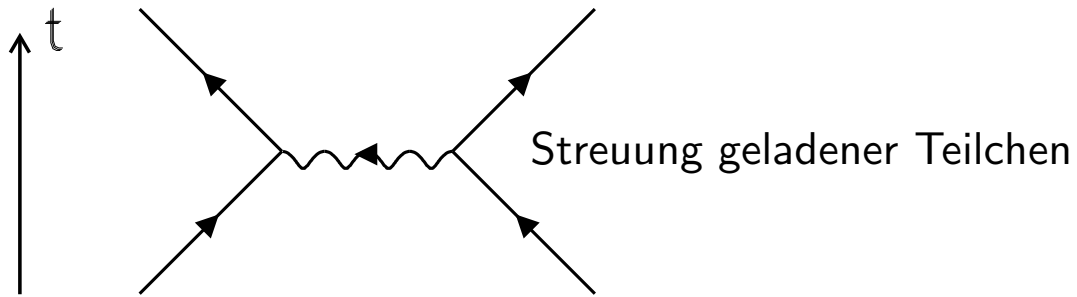
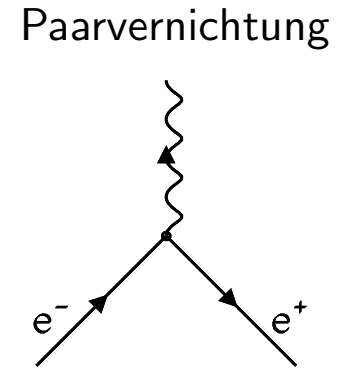
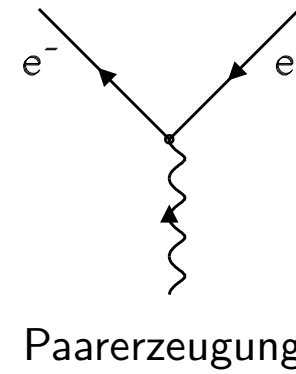
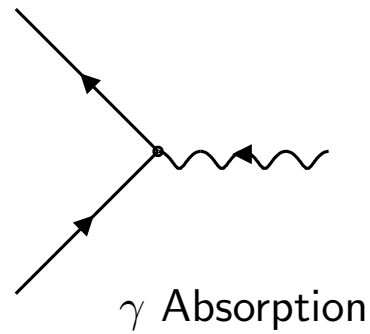
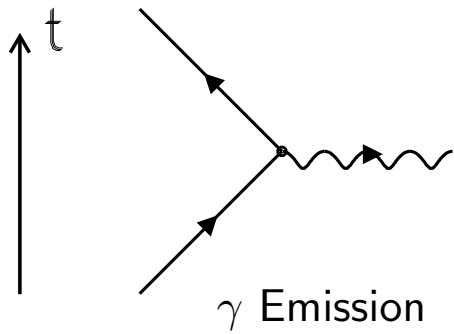


- ① Diagramm aufzeichnen
- ② Pfeile einfügen
- ③  $u, \bar{u}, v, \bar{v}$  Spinoren mit Impulsen verteilen, Propagatoren
- ④ Faktoren für die Vertices
- ⑤ über innere Linien integrieren  $\int \frac{d^4 q}{(2\pi)^4}$

$$S_{fi}^{(1)} = ie^2 \int \frac{d^4 q}{(2\pi)^4} (2\pi)^4 \delta^4(p_4 - p_2 + q) \underbrace{\bar{u}(p_3) \gamma_\mu u(p_1)}_{J_\mu = \text{Elektronstrom}} \frac{g^{\mu\nu}}{q^2 + i\epsilon} (2\pi)^4 \delta^4(p_3 - p_1 - q) \underbrace{\bar{u}(p_4) \gamma_\nu u(p_2)}_{J_\nu = \text{Muonstrom}}$$

$$S_{fi}^{(1)} = (2\pi)^4 \delta^4(p_3 + p_4 - p_1 - p_2) \underbrace{ie^2 \bar{u}(p_3) \gamma_\mu u(p_1) \frac{1}{q^2} \bar{u}(p_4) \gamma^\mu u(p_2)}_M \quad \text{mit } q = p_1 - p_3$$

# Elementarprozesse



# Berechnung von Zerfallsraten und Wirkungsquerschnitten aus dem Matrixelement $M$ :

Notationshinweis: wir benutzen kleine  $p_i$  für Viererimpulse und grosse  $P_i$  für Dreierimpulse

## 1. Goldene Regel für Zerfälle $1 \longrightarrow 2 + 3 + 4 + \dots n$

(Hier ohne Herleitung, siehe Schmüser S. 51 ff für  $d\sigma$ )

$$d\Gamma = |M|^2 \frac{S}{2\hbar m_1} \left[ \left( \frac{c d^3 P_2}{(2\pi)^3 2E_2} \right) \left( \frac{c d^3 P_3}{(2\pi)^3 2E_3} \right) \cdots \left( \frac{c d^3 P_n}{(2\pi)^3 2E_n} \right) \right] \cdot (2\pi)^4 \delta^4(p_1 - p_2 - p_3 - \dots - p_n)$$

$S$  ist statistischer Faktor:  $\frac{1}{j!}$  für jede Gruppe von  $j$  identischen Teilchen

## 2. Goldene Regel für Streuprozesse $1 + 2 \longrightarrow 3 + 4 + \dots + n$

$$d\sigma = |M|^2 \frac{\hbar^2 S}{4 \sqrt{(p_1 p_2)^2 - (m_1 m_2 c^2)^2}} \underbrace{\left[ \left( \frac{c d^3 P_3}{(2\pi)^3 2E_3} \right) \left( \frac{c d^3 P_4}{(2\pi)^3 2E_4} \right) \cdots \left( \frac{c d^3 P_n}{(2\pi)^3 2E_n} \right) \right]}_{dLips, \text{ Lorentz inv. Phasenraum}}$$

$$\cdot (2\pi)^4 \delta^4(p_1 + p_2 - p_3 - p_4 - \dots - p_n)$$

$$F = 4 \sqrt{(\quad)^2 - (\quad)^2} \quad \text{Lorentz-invarianter Flussfaktor}$$

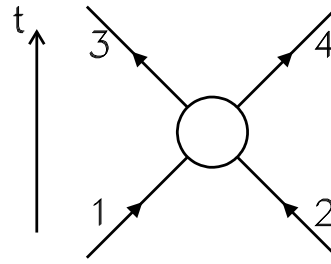
Im Folgenden:

Ziel ist die komplette Herleitung des Wirkungsquerschnittes für den Streuprozess  $e^- \mu^- \rightarrow e^- \mu^-$   
(diese Reaktion ist vom Typ  $1 + 2 \rightarrow 3 + 4$ )

Schritte:

1. Bestimme Flussfaktor  $F$  für einlaufende Teilchen
2. Führe Phasenraumintegration aus über die auslaufenden Impulse, ersetze dabei Integration über Impulse durch Integration über Energie und Raumwinkel
3. Berechne Matrixelementquadrat  $|M|^2$  unter Berücksichtigung aller möglichen Spineinstellungen

# Bemerkungen zum Flussfaktor:



$$d\sigma \sim \frac{1}{F}$$

↓ Dichte der Targetteilchen

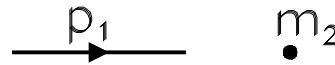
$$F = |j_{ein}| \cdot n_{target} = \frac{|\vec{v}_1|}{V/2 E_1} \cdot \frac{2E_2}{V} = \frac{|\vec{v}_1| 4E_1 E_2}{V^2}$$

↑ Stromdichte der einl. Teilchen

( $u^+ u = 2E$  Normierung)

zu zeigen  $F = \frac{4}{V^2} \sqrt{(p_1 p_2)^2 - (m_1 m_2)^2}$

Beweis im Laborsystem:



$$p_1 = (E_1, \vec{P}_1), \quad p_2 = (m_2, 0), \quad \Rightarrow p_1 p_2 = E_1 m_2$$

$$F = \frac{4}{V^2} \sqrt{E_1^2 m_2^2 - m_1^2 m_2^2} = \frac{4}{V^2} m_2 |\vec{P}_1| = \frac{4}{V^2} m_2 |\vec{v}_1| E_1 = \frac{4 |\vec{v}_1| E_1 E_2}{V^2}$$

Ohne Rechnung: im Schwerpunktsystem (CMS)

$F_{cms} = \frac{4}{V^2} P_i \sqrt{s}$	$s = (p_1 + p_2)^2$ $ \vec{P}_1  =  \vec{P}_2  = P_i$
--	---

Ziel: Differenzieller WQ  $\rightarrow$  ausintegrieren von  $dLips$  im CMS:

$$1 + 2 \rightarrow 3 + 4 \quad d\sigma = |M^2| \frac{1}{4P_i\sqrt{s}} \frac{d^3P_3}{(2\pi)^3 2E_3} \frac{d^3P_4}{(2\pi)^3 2E_4} \cdot 2\pi^4 \delta^4(p_1 + p_2 - p_3 - p_4)$$

$$\int d^3P_4 \text{ kann ausgeführt werden } \vec{P}_3 = -\vec{P}_4, \quad |\vec{P}_3| = |\vec{P}_4| = P_f$$

$$s = (p_1 + p_2)^2 = (E_1 + E_2)^2 = (p_3 + p_4)^2 = (E_3 + E_4)^2$$

$$\begin{aligned} & \int d^3P_4 \frac{1}{(2\pi)^2} \frac{d^3P_3}{4E_3E_4} \delta(\sqrt{s} - E_3 - E_4) \delta^3(\vec{P}_3 + \vec{P}_4 - \vec{P}_2 - \vec{P}_1) \cdot |M^2| \frac{1}{4P_i\sqrt{s}} \\ &= \frac{d^3P_3}{4E_3E_4} \delta(\sqrt{s} - E_3 - E_4) \cdot |M^2| \frac{1}{4P_i\sqrt{s}} \end{aligned}$$

Ersetze Impuls- durch Energieintegration:

$$\text{mit } E_3 = \sqrt{|P_f|^2 + m_3^2}, \quad E_4 = \sqrt{|P_f|^2 + m_4^2} \quad \Rightarrow \quad dE_3 = \frac{P_f}{E_3} dP_f, \quad dE_4 = \frac{P_f}{E_4} dP_f$$

$$W = E_3 + E_4, \quad dW = dE_3 + dE_4 = dE_3 \left(1 + \frac{E_3}{E_4}\right) = dE_3 \frac{W}{E_4}$$

$$\Rightarrow \frac{d^3P_3}{E_3E_4} = \frac{P_f^2 dP_f d\Omega}{E_3E_4} = \frac{P_f E_3 dE_3 d\Omega}{E_3E_4} = P_f \frac{dW}{W} d\Omega$$

Ausintegrieren über Energie:  $\rightarrow$  differenz. WQ pro Raumwinkel

---

$$\begin{aligned}d\sigma &= \int \frac{1}{4P_i\sqrt{s}} |M|^2 \frac{1}{(2\pi)^2} \frac{d^3P_3}{4E_3E_4} \delta(\sqrt{s} - W) \\&= \int \frac{1}{4P_i\sqrt{s}} |M|^2 \frac{1}{(2\pi)^2} \frac{P_f dW d\Omega}{4W} \delta(\sqrt{s} - W) \\&= \frac{1}{4P_i\sqrt{s}} |M|^2 \frac{1}{(2\pi)^2} \frac{P_f}{4\sqrt{s}} d\Omega\end{aligned}$$

$$\boxed{\frac{d\sigma}{d\Omega} \Big|_{cms} = \frac{1}{64\pi^2} \cdot \frac{1}{s} \cdot \frac{P_f}{P_i} |M|^2} \quad s = (p_1 + p_2)^2$$

Hochenergiegrenze:  $\frac{P_f}{P_i} \rightarrow 1$   $\sigma \sim \frac{1}{s}$   
( $m \ll \sqrt{s}$ )

Jetzt:  $\frac{d\sigma}{d\Omega}$  für  $e^- \mu^- \rightarrow e^- \mu^-$

Berechnung von  $|M|^2 = M \cdot M^*$

$$M = ie^2 \bar{u}(p_3) \gamma_\mu u(p_1) \frac{1}{q^2} \bar{u}(p_4) \gamma^\mu u(p_2)$$

$$u_1(p), \quad u_2(p) \quad (\text{und } v_1(p), v_2(p))$$

*Spin*  $\uparrow \uparrow p$        $\downarrow \uparrow p$

unterscheiden sich durch Spinstellung

### Streuung von unpolarisierten Teilchen:

- Mittelung über die Spins der Teilchen im Anfangszustand

$$|M|^2 = \frac{1}{4} \sum_{S_1, S_2} |M|^2$$

- Wenn Polarisation nicht beobachtet:

Summation über alle möglichen Spins im Endzustand

$$|M|^2 = \frac{1}{4} \sum_{S_1, S_2} \sum_{S_3, S_3} |M|^2 = 2e^4 \frac{s^2 + u^2}{t^4} \text{ nächstes Mal Beweis}$$